



اثرهاي مکاني در تعیین مقدار رآکتیویته و کاربرد مدل نقطه‌ای در رآکتورهاي قدرت

فاطمه فروغی^{*}، ایگور بالاکین^۱، یوری ولکو^۲

۱- پژوهشکده چرخه سوخت هسته‌ای، پژوهشگاه علوم و فنون هسته‌ای، سازمان انرژی اتمی ایران، صندوق پستی: ۱۵۸۹-۸۱۴۶۵، اصفهان- ایران

۲- دانشگاه IAT^۳، اوبنیسک- روسیه

چکیده: هدف این پژوهش تعیین روشهای است که به وسیله‌ی آن بتوان رآکتورهای بزرگی هم چون VVER1000 را با مدل نقطه‌ای توصیف کرد و معادلات سیتیک نقطه‌ای را در آن‌ها به کار برد. با این روش می‌توان مقدار رآکتیویته درون قلب رآکتور را در حالت‌های گذرا با دقت بسیار خوبی به صورت لحظه‌ای بدون آن که بزرگی و ابعاد رآکتور تأثیری در معادلات سیتیک رآکتور و مقدار رآکتیویته اندازه‌گیری شده داشته باشد، تعیین نمود. در این طرح نشان داده است که در رآکتورهای بزرگ چنان‌چه در هر لحظه از زمان شار نوترونی درون قلب را برابر با شار بیشینه موجود در قلب رآکتور در آن لحظه در نظر بگیریم، می‌توان رآکتور را به صورت یک نقطه در نظر گرفت که شار نوترونی آن Φ_{\max} است. در این پژوهش به بررسی طرح‌های دیگری هم که به وسیله‌ی آن‌ها بتوان رآکتور را به صورت نقطه‌ای در نظر گرفت پرداخته شده و با طرح شار بیشینه مقایسه و نشان داده است که طرح شار بیشینه دقیق‌ترین و کاربردی‌ترین روش برای تقریب‌زدن یک رآکتور با مدل نقطه‌ای می‌باشد.

واژه‌های کلیدی: رآکتورهای قدرت، واکنش پذیری، وابستگی فضایی، سیتیک رآکتور، معادلات سیتیک، شبیه‌سازی، مدل‌های ریاضی

Spatial Effects in Specifying Reactivity and Application of Point Model in Power Reactors

F. Foroughi^۱, I. Balakin^۲, Y. Volkov^۲

۱- Nuclear Fuel Cycle Research School, Nuclear Science and Technology Research Institute, AEOI, P.O. Box: 81465-1589, Esfahan-Iran
۲- IAT^۳ University, Obninsk-Russia

Abstract: The aim of this research is to specify a method by which large reactors can be described by point model, and point kinetic equations can be applied. By this method the in-core reactivity can be measured and the reactor size and dimensions do not have any effect on the kinetic equations and the measured reactivity. The effective multiplication factor of a reactor (k) is a value that is a function of time (not a function of location in the core). By solving the reactor modeling equations through which the dimensions of the reactor are considered, different values are obtained for k . If these values differ very much with each other, the spatial effects should be considered in measuring reactivity. These effects affect the needed time for showing the correct reactivity by reactimeter and eliminating these effects reduces aferesaid time. In this study it is shown that in large reactors if at any time we consider the in-core neutron flux equal to the maximum flux at that time, the reactor can be considered as a point. In this research the other schemes which specify the reactor reactivity are also studied, compared with the maximum flux scheme, and it is concluded that the maximum flux scheme is the most precise and applicable method that can be used to approximate a reactor as a point.

Keywords: Power Reactors, Reactivity, Space Dependence, Reactor Kinetic, Kinetic Equations, Simulation, Mathematical Models

*email: F_Foroughi@entc.org.ir

تاریخ دریافت مقاله: ۸۶/۸/۱ تاریخ پذیرش مقاله: ۸۷/۵/۲۱

۱- مقدمه

- قرار دادن یک رآکتیویته سنج در مناسب ترین محل در قلب رآکتور،
- قرار دادن یک رآکتیویته سنج در محلی دلخواه و انجام محاسبات برای تصحیح مقدار نشان داده شده، همراه با در نظر گرفتن تغییرات بازده دستگاه،
- قرار دادن مجموعه ای از چندین رآکتیویته سنج (تقریباً به صورت زوج و متقارن) در قلب رآکتور.

روش اول را تنها می توان در تحقیقات آزمایشگاهی به کار برد و در رآکتورهای قدرت انتخاب مکانی که برای قرار دادن تنها یک رآکتیویته سنج مناسب باشد با محدودیت بسیار همراه است.

روش دوم به حجم زیادی محاسبه نیاز دارد و علی رغم مزایای زیاد در موقعی که سیستم در حال کار است قابل اجرا نیست. روش سوم روش قابل قبولی است و نسبت به روش های دیگر ارجح است. این روش در رآکتورهای امرزوی (VVER, RBMK) همراه با سایر سیستم های کنترل موجود در درون قلب رآکتور به کار می رود. این سیستم نه تنها برای کنترل شکل توان در حالت پایا مورد استفاده قرار می گیرد، بلکه برای اندازه گیری های دینامیکی (حالت های گذرا) هم از آن استفاده می شود. در سطوح مختلف توان، استفاده از آشکار سازه ای سیستم کنترل درون قلب رآکتور تنها راه اندازه گیری درست رآکتیویته در رآکتورهای بزرگ با اثرهای مکانی زیاد است.

۲- روش های تعیین رآکتیویته

برای ساده تر نمودن مسئله، معادله پخش نوترون را با درجه ۱ و رآکتور را بدون بازتابنده^(۱) در نظر می گیریم. هم چنین فرض می کنیم رآکتور در حالت پایا در لحظه $t=0$ دارای توزیع نوترونی $\Phi_0(\vec{r})$ است. اینک فرض می کنیم که به سبب یک جهش، در خواص مختلف رآکتور تغییر به وجود می آید. در این صورت می توان تابع زیر را نوشت

$$N(t) = \int \phi^+(\vec{r}) \phi(\vec{r}, t) dr \quad (2)$$

که ضریب تکثیر مؤثر رآکتور، مقداری وابسته به زمان است که رفتار دینامیکی رآکتور را در هر لحظه از زمان به طور کامل مشخص می کند. مقدار k را می توان به وسیله تابع شار نوترونی اندازه گیری شده در درون قلب رآکتور در هر لحظه، و هم چنین با استفاده از مدل سازی (به دست آوردن معادلات) و تبدیلات مناسب (بسیار و ...) و به کار بردن تقریب های مناسب در معادلات دیفرانسیل سینتیک رآکتور تعیین کرد. در اندازه گیری رآکتیویته، رآکتیویته سنج هایی که براساس مدل معادلات سینتیک رآکتور رفتار می کنند به طور گسترده ای مورد استفاده قرار می گیرند. با حل این معادلات که در آن ها ابعاد رآکتور در نظر گرفته می شوند، مقادیر مختلفی برای k به دست می آید. این مقادیر به متقارن بودن اختلال وارد شده به رآکتور، هم چنین به نوع دستگاه اندازه گیری شار نوترون بستگی دارند. اگر مقادیر k محاسبه شده با هم اختلاف زیادی داشته باشند، لازم خواهد بود اثر مکانی در اندازه گیری رآکتیویته در نظر گرفته شود. با تقریب خوبی می توان توزیع شار نوترون را به صورت تابعی از زمان نوشت

$$\Phi(\vec{r}, t) = T(t)\psi(\vec{r}, t) \quad (1)$$

که در آن، $T(t)$ تابع دامنه و $\psi(\vec{r}, t)$ تابع شکل شار^(۱) است که با زمان، اندکی تغییر می کند.

به هر حال، اثرهای مکانی پس از گذشت مدت زمان کافی از وارد شدن اختلال در رآکتور، از بین می روند و رآکتیویته سنج ها، داده های درستی دریافت می کنند. بنابراین اثرهای مکانی بر خواص دینامیکی رآکتیویته سنج اثر می گذارند. به این معنی که این اثرها بر زمان لازم برای نشان دادن مقدار درست رآکتیویته تأثیر دارند. ختنی کردن اثر مکانی در اندازه گیری رآکتیویته، این زمان را کاهش می دهد و این کار هنگامی که محدوده تغییرات دینامیکی رآکتیویته سنج محدود است، یا تغییرات اندک رآکتیویته مورد نیاز می باشد، لازم است [۱]. سه راه برای کاهش خطای حاصل از اثرهای مکانی در اندازه گیری رآکتیویته وجود دارد:



$$\rho_i = 1 + \frac{\Lambda}{\beta} \alpha_i - \sum_{k=1}^M \frac{\lambda_k \cdot u_{k,i}}{T_i} \quad (4)$$

که در آن M تعداد گروه نوترون‌های تأخیری، و α شماره اندازه‌گیری است و

$$\alpha_i = \frac{1}{\Delta t} L_n \left(\frac{T_i}{T_{i-1}} \right)$$

$$u_{k,i} = u_{k,i-1} e^{-\lambda_k \cdot \Delta t} + \frac{a_k \cdot (T_i - T_{i-1}) e^{-\lambda_k \cdot \Delta t}}{(\lambda_k + a_k)}$$

T_i ، نتیجه‌ی اندازه‌گیری شار نوترونی در اندازه‌گیری شماره‌ی α و

$$a_k = \frac{\beta_k}{\beta}$$

بقیه‌ی نمادهای به کار رفته، نمادهای متداول در محاسبات رآکتور می‌باشند.

در این روش برای تعیین T ، از درون‌یابی نمایی مقادیر شار نوترونی به دست آمده از اندازه‌گیری استفاده می‌شود. این روش به این صورت است که علامتی از آشکارسازهای درون قلب رآکتور به رآکتیویته سنج فرستاده می‌شود و به روش بالا رآکتیویته محاسبه و به مقادار رآکتیویته‌های قبلی اضافه می‌شود.

روش دیگر آن است که در هر اندازه‌گیری نوترونی مقادار شار بیشینه را پیدا کنیم. در این روش فرض می‌کنیم معادله‌ی پخش نوترون در رآکتور بدون بازنبنده از درجه‌ی اول است و تغییرات دینامیکی به صورت یک جهش و در یک لحظه در رآکتور ایجاد می‌شود. در این صورت، رفتار زمانی رآکتور بعد از پایان تغییرات سطح مقطع (۵)‌های جذب با معادله‌ی تراپز نوترون به صورت زیر توصیف می‌گردد

[۲]

$$D\Delta\Phi(x, t) + v \sum_f (1 - \beta) \Phi(x, t) - \sum_a (x) \Phi(x, t) + v \sum_f \sum_{i=1}^M \lambda_i \beta_i \int_{-\infty}^t e^{-\lambda_i(t-t')} \Phi(x, t') dt' = \frac{1}{V} \frac{\partial \Phi}{\partial t} \quad (5)$$

که در آن، $(\vec{r}) \varphi^+$ تابع پیوسته‌ی مستقل از زمان است که بعد از ایجاد اختلال تعریف می‌شود و $(\vec{r}, t) \phi$ ، تابع فضا-زمان توزیع نوترون‌ها در رآکتوری با حجم V است.

با در نظر گرفتن فرضیات و معادلات بالا، (t) با $(\vec{r}, t) \phi$ رآکتور را با مدل نقطه‌ای معرفی می‌کند [۲]. روش بالا یکی از بهترین راههای از بین بردن اثرهای مکانی در تعیین مقدار رآکتیویته است و می‌توان با تقریب خوب $(\vec{r}) \varphi^+$ و $(\vec{r}, t) \phi$ طوری تعیین نمود که پیوستگی در رابطه‌ی (۲) حفظ شود. متداول‌ترین روش‌ها برای تقریب $(\vec{r}) \varphi^+$ و $(\vec{r}, t) \phi$ روش زیر است.

فرض می‌کنیم $(\vec{r}, t) \phi$ را بتوان با تقریب بسیار خوبی با رابطه‌ی (۱) بیان کرد. بنابراین با توجه به رابطه‌ی (۲) می‌توان نوشت

$$T(t) = \frac{\int_v \varphi^+(\vec{r}) \phi(\vec{r}, t) dr}{\int_v \varphi^+(\vec{r}, t) \Psi(\vec{r}, t) dr} \quad (3)$$

اگر رابطه‌ی (۱) دقیقاً برقرار باشد و تابع Ψ با زمان تغییر نکد، آن‌گاه (t) در نظریه‌ی سینتیک نقطه‌ای رآکتور کاملاً برقرار خواهد بود. با روش‌های عددی مختلف (به نامهای A، B، C، D) می‌توان توابع $(\vec{r}) \varphi^+$ و $(\vec{r}, t) \phi$ را تقریب زد. بسیاری از متخصصان (مخصوصاً در روسیه) بر این عقیده‌اند که با جمع کردن مقادیری که رآکتیویته سنج‌ها در نقاط مختلف رآکتور نشان می‌دهند، اثر مکانی خشنی می‌گردد. این فرضیه به این معنی است که در رابطه‌ی (۲) تابع $(\vec{r}) \varphi^+$ را یک در نظر بگیریم. این روش را طرح E می‌نامیم [۳].

در هر لحظه می‌توان به طور هم‌زمان از همه‌ی مزایای سیستم‌های کنترل درون قلب رآکتور از طریق مقایسه‌ی نتیجه‌ی این سیستم‌ها با آشکارساز منفرد و خواص قابل توجه رآکتیویته سنج‌های عددی استفاده نمود. روشهای رآکتیویته سنج‌های عددی برای اندازه‌گیری رآکتیویته می‌توانند به کار گیرند، ممکن است به صورت زیر باشد. برای محاسبه‌ی رآکتیویته از نتایج اندازه‌گیری شار نوترونی در همسایگی از این الگوریتم استفاده می‌شود [۲].

$$\frac{\partial F(x,t)}{\partial x} = 0 \quad (9)$$

با مشتق گیری از رابطه (8) می‌توان ملاحظه نمود که شرط

$$\begin{aligned} \frac{\partial F(x,t)}{\partial x} \Big|_{x=y(t)} &= 0 \\ \text{در واقع همان شرط} \\ \frac{\partial \Phi(x,t)}{\partial x} \Big|_{x=y(t)} &= 0 \end{aligned}$$

است. رابطه بالا به این معنی است

که چنان‌چه آشکارساز در مسیر $x=y(t)$ یعنی مسیری که مقدار شار بیشینه است قرار داده شود، رفتار رآکتور بسیار نزدیک به مدل نقطه‌ای خواهد بود. مشخص است که در این روش باید مختصات آشکارسازها را به گونه‌ای انتخاب نمود که در هر مرحله از اندازه‌گیری در شار بیشینه باشند، تا حداکثر بازدهی برای آشکارساز به وجود آید. این روش را که در آن ورودی رآکتیویته سنج در محل بیشینه شار نوترونی قرار می‌گیرد، روش F گویند.

۳- مدل سازی، نتایج

بررسی هر یک از روش‌های تعیین رآکتیویته ممکن است براساس مدل سازی اختلال‌های مختلفی که در رآکتور به وجود می‌آید و تغییر عوامل فیزیکی رآکتور که با k مشخص می‌شوند، انجام گیرد. با مدل سازی مجموعه اختلال‌هایی که در رآکتیویته رآکتور به وجود می‌آیند و محاسبه‌ی رآکتیویته با استفاده از این اختلال‌ها، روش‌های خنثی کردن اثرهای مکانی را می‌توان مستقیماً مورد بررسی قرار داد. در مدل سازی عددی رآکتور این فرضیات در نظر گرفته می‌شوند: رآکتور یک بعدی، پخش سریع نوترون به طوری که ضریب پخش بتواند تقریباً مستقل از زمان در نظر گرفته شود، عدم حضور بازتابنده در دو انتهای رآکتور، و ۶ گروه نوترون تأخیری در مدل سازی، رآکتور به ۱۰۰ قسمت مساوی تقسیم می‌گردد و توابع پیوسته‌ی نوترونی ($\Phi(x_i, t)$) در هر قسمت حساب می‌شوند. آشکارساز $\Phi(x_i, t)$ در قسمت‌های x_i (۱۰۰ و ۲) قرار دارند. آشکارسازهایی که شار نوترونی را ثبت می‌کنند، جریان‌هایی تولید می‌کنند که با $\Phi(x_i, t)$ برابر هستند.

اثرهای مکانی در تعیین مقدار رآکتیویته و ... نمادهای به کار رفته در این معادله، نمادهای متداول در محاسبات رآکتور می‌باشند. تابع پیوسته‌ی نوترونی هم چنین رابطه زیر را برقرار می‌کند

$$D\Delta\varphi^+(x) + \left[\frac{\nu \sum_f}{K} - \sum_a(x) \right] \varphi^+(x) = 0 \quad (6)$$

$\varphi^+(x)$ را به رابطه (4) و $\Phi(x, t)$ را به رابطه (5) اضافه می‌کنیم. حاصل عبارت دوم را از عبارت اول کم کرده، و از نتیجه‌ی به دست آمده $\Phi(x, t)$. $\varphi^+(x)$ را کم می‌کنیم. رابطه‌ی زیر به دست می‌آید

$$F(x, t) = \frac{1}{\Phi} \cdot \frac{\partial \Phi}{\partial t} - \frac{k(1-\beta)-1}{\Lambda} - \frac{1}{\Lambda} \sum_{i=1}^M \lambda_i \beta_i \int_{-\infty}^t e^{-\lambda_i(t-t')} \frac{\Phi(x, t')}{\Phi(x, t)} dt' \quad (7)$$

که در آن

$$F(x, t) = D \left(\frac{\Delta \Phi}{\Phi} - \frac{\Delta \varphi^+}{\varphi^+} \right) \quad (8)$$

ملاحظه می‌شود که چنان‌چه $F(x, t) = 0$ باشد، رابطه‌ی (7) به همان معادله‌ی مدل نقطه‌ای رآکتور تبدیل می‌شود. بنابراین، چنان‌چه مسیری را برای x بیابیم که تابعی از t بوده، در رابطه‌ی $F(x, t) = 0$ قرار بگیرند، مدل نقطه‌ای برای رآکتور را می‌توان مسیر $x = y(t)$ قرار بگیرد، آشکارساز نوترونی در لحظه‌ی t در محل $y(t)$ قرار گیرد، دیگر اثر مکانی در اندازه‌گیری رآکتیویته وجود نخواهد داشت.

حال چنان‌چه رابطه‌ی $\Phi(x, t) = T(t)\varphi^+(x)$ برقرار باشد، آن گاه رابطه‌ی (7) برای هر x صفر و معادله‌ی (6) معادله‌ی سینتیک نقطه‌ای خواهد بود. اما اگر $T(t)\varphi^+(x)$ برابر $\Phi(x, t)$ نباشد، مسیری مثل $y(t)$ باید پیدا نمود که چنان‌چه در آن مسیر حرکت کنیم، رآکتور خیلی نزدیک به مدل نقطه‌ای رفتار کند و اثرهای مکانی به حداقل برسند. در این صورت در طول این مسیر $F(x, t)$ مقدار کمیته‌ی خود را خواهد داشت و رابطه‌ی زیر برقرار خواهد بود.



چنان‌چه نماد^{*}* نشان‌گر هر یک از روش‌های اندازه‌گیری باشد، آن‌گاه خطاهای نسبی را می‌توان از رابطه $\rho = \frac{\rho - \rho^*}{\rho}$ Δ * محاسبه کرد (در این رابطه ρ رآکتیویته محاسبه شده می‌باشد). چون تابع (t) معادله‌ی رآکتور نقطعه‌ای را برقرار می‌نماید از این رو می‌تواند به عنوان یک معیار به کار رود و دقت روش‌های مدل‌سازی می‌تواند با این روش سنجیده شود. مدت زمانی که طول می‌کشد تا خروجی رآکتیویته سنج به مقدار نهایی خود با دقت مشخص^Δ برسد با τ نشان داده می‌شود، و بیان‌گر خواص دینامیکی رآکتیویته سنج است [۱]. غالباً $\Delta = 5\%$ در نظر گرفته می‌شود [۴]، ولی برای هر روش زمان^{*} متفاوت است. از نظر دینامیکی بهترین روش اندازه‌گیری آن است که کوچک‌ترین مقدار τ را داشته باشد. در همه‌ی محاسبات، مقادیر زیر به کار برده می‌شوند [۴]

$$\Lambda = 10^{-3} \text{ sec}, \beta = 0.0065$$

هم‌چنین مشخصات نوترون‌های تأخیری برای شکافت U^{235} به وسیله‌ی نوترون‌های گرمایی تعیین می‌شود. در مدل‌سازی $\Delta t = 0.01 \text{ sec}$ در نظر گرفته می‌شود. در مثال‌های عنوان شده مقادیر که برای k_∞ , ϵ_1 , ρ و ρ^* محاسبه شده‌اند در جدول ۱ آمده است. در این جدول مقادیر انتخابی ϵ برای حالت‌های ۳ تا ۵ به گونه‌ای انتخاب شده‌اند که رآکتیویته‌های رآکتورهای با اندازه‌های مختلف یکسان باشد. نتایج محاسبات برای حالت‌ها و روش‌های مختلف در جدول ۲ آورده شده است. در این جدول مقادیر ρ و هم‌چنین٪ Δ متناظر با زمان $t = 1 \text{ sec}$ داده شده و τ بر حسب ثانیه بیان شده است.

جدول ۱- حالت‌های مختلف برای رآکتور.

NO.	k_∞	ϵ_1	ϵ_2	ρ	ρ^*
۱	۱,۰۰۲	۰,۰۰۵	۰	-۰,۷۷۵	-۰,۳۸۴
۲	۱,۰۰۲	۰,۰۱۵	۰	-۰,۴۸۲	-۱,۱۵۰
۳	۱,۰۰۲	۰,۰۳۵	۰	-۰,۶۱۱	-۲,۶۹۰
۴	۱,۰۱	۰,۰۱	۰	-۰,۶۶۸	-۰,۷۶۲
۵	۱,۴	۰,۰۱۲۵	۰	-۰,۶۸۴	-۰,۶۸۷
۶	۱,۰۱	۰,۰۳	۰	-۱,۵۳	-۲,۲۸
۷	۱,۴	۰,۰۷۵	۰	-۴,۰۲	-۴,۱۲

در روش I_1 و I_2 ، رآکتور به دو قسمت مساوی تقسیم می‌شود که به این ترتیب دو رآکتور مجازی شکل می‌گیرد. دو تا از آشکارسازهای نوترونی با مختصات I_1 و I_2 انتخاب و برای اندازه‌گیری شار نوترونی در هر یک از این رآکتورها در نظر گرفته می‌شوند. همواره آشکارسازی که شار بیشتر نشان می‌دهد I_2 نامیده می‌شود. هم‌چنین در شروع اندازه‌گیری ($t=0$) مختصات شار نوترونی بیشینه $I_1=25$ و $I_2=50$ می‌باشد و به طور کلی در هر محاسبه، I_2 مناسبی به کار می‌رود. بر حسب آن که در هر یک از این رآکتورها چه قدر باشد، این رآکتورها این نام‌ها را به خود می‌گیرند: ($k_{\infty}=1,002$ ، $k_{\infty}=1,01$ ، متوسط) $\Sigma_{aj} - \Sigma_{a0}$ به وسیله‌ی جهش‌هایی از نوع $\epsilon_1 > 0$ و $\epsilon_2 = 0$ در هر دو رآکتور، به وجود می‌آید و حالت‌های مختلف با در نظر گرفتن حداکثر تغییر در شار نوترونی و حداکثر اثر مکانی در اندازه‌گیری رآکتیویته (چنان‌چه وجود داشته باشند) مدل‌سازی می‌شوند.

شارهای نوترونی که با روش‌های مختلف اندازه‌گیری می‌شوند، عبارت‌اند از

$$\Phi(I_1, t), \Phi(I_2, t)$$

طرح‌های I_1 و I_2

$$J_0 = \int_0^1 \Phi(x, t) \cdot \varphi^+(x) dx$$

طرح صفر

طرح‌های A و B

$$J_A = \frac{\int_0^1 \Phi(x, t) \Phi_0(x) dx}{\int_0^1 \Phi_0^2(x, t) dx}, J_B = \frac{\int_0^1 \Phi^2(x, t) dx}{\int_0^1 \Phi(x, t) \Phi_0(x) dx}$$

طرح E

$$J_E = \int_0^1 \Phi(x, t) dx$$

طرح F

$$J_F = \max \Phi(x, t)$$

در این طرح‌ها $\Phi_0(x)$ توزیع اولیه‌ی شار نوترونی است.

$\overline{\rho_F}(t), \overline{\rho_E}(t), \overline{\rho_B}(t), \overline{\rho_A}(t), \overline{\rho_{I_2}}(t), \overline{\rho_{I_1}}(t)$ رآکتیویته‌های (t) هم با توجه به این توابع و با استفاده از روش‌های عددی توسط رآکتیویته سنج تعیین می‌شوند.

جدول ۲- نتایج مدل سازی.

NO.	I _r	°	I _r	I _{r=50}	I _r	A	B	E	F
۱	۵۹	$\bar{P} = -0,275$	-۶۷۹	-۳۵۳	-۲۲۸	-۳۲۹	-۳۰۱	-۳۲۷	-۲۶۵
		$\Delta = +0,02$	-۱۴۸	-۲۸	۱۷	-۲۰	-۱۰	-۱۹	۳
		$\tau = +0,01$		>۲۰	>۲۰	۷	>۲۰	+0,16	
۲	۶۲	$\bar{P} = -0,482$	-۲۰۸	-۰,۹۱۵	-۰,۴۱	-۰,۷۷۶	-۰,۵۹۸	-۰,۷۶	-۰,۴۹۱
		$\Delta = -0,038$	-۳۳۳	-۹۰	۱۵	-۶۱	-۲۴	-۵۸	-۲
		$\tau = +0,03$		>۲۰	۲۰	[]	>۲۰	+0,13	
۳	۶۵	$\bar{P} = -0,611$	-۵۷	-۱۷۸	-۰,۵۳۴	-۱۳	-۰,۷۹۲	-۱۲۵	-۰,۶۸۰
		$\Delta = +0,022$	-۷۴۷	-۱۹۲	۱۳	۱۱۲	-۳۰	-۱۰۴	-۱۱
		$\tau = +0,01$		>۲۰	۱۶	[]	>۲۰	[]	+0,6
۴	۵۶	$\bar{P} = -0,669$	-۹۹۷	-۷۰۶	-۰,۶۳۱	-۰,۶۸۹	-۰,۶۷۳	-۰,۶۸۸	-۰,۶۵۳
		$\Delta = -0,07$	-۴۹	-۶	۶	-۳	-۰,۸	-۳	-۲
		$\tau = +0,01$		۲	۲	+0,15	+0,04	+0,13	+0,07
۵	۴۹	$\bar{P} = -0,688$	-۷۴۴	-۶۸۹	-۰,۶۸۴	-۰,۶۸۸	-۰,۶۸۸	-۰,۶۸۸	-۰,۶۸۹
		$\Delta = -0,6$	-۹	-۰,۷	+0,05	-۰,۶	-۰,۶	-۰,۶	-۰,۷
		$\tau = +0,02$		+0,2	+0,19	+0,20	+0,19	+0,20	+0,20
۶	۶۲	$\bar{P} = -1,54$	-۳/۱۵	-۱,۸۶	-۱,۳۱	-۱,۷۶	-۱,۶۰	-۱,۷۴	-۱,۴۶
		$\Delta = -0,1$	-۱۰۵	-۲۱	۱۵	-۱۴	-۴	-۱۴	۴
		$\tau = +0,01$		[]	>۲۰	[]	+0,22	>۲۰	+0,03
۷	۵۱	$\bar{P} = -4,03$	-۴/۳۸	-۴,۰۵	-۴,۰۱	-۴,۰۴	-۴,۰۳	-۴,۰۴	-۴,۰۳
		$\Delta = -0,25$	-۹	-۰,۶	+0,۳۲	-۰,۳۳	-۰,۲۵	-۰,۳۲	-۰,۲۲
		$\tau = +0,1$		[]		+0,1	[]	[]	[]

تغییرات سریعی دارد، ولی بعد از آن تغییرات خطابا زمان بسیار کند می شود و در خصوص اثرات مکانی در رآکتیویته تنها می توان از خطای سیستماتیک صحبت نمود.

- طرح های A و E از نظر مقدار و تغییرات دینامیکی خطاب تقریباً یکسان هستند، اما اگر اثرهای مکانی قابل توجه باشد، در رآکتورهای بزرگ (حالت های ۱، ۲ و ۳) و در رآکتیویته بزرگ در رآکتورهای متوسط (حالت ۶) دقت طرح B از دقت طرح های A و E تقریباً ۲ تا ۳ بار بیشتر است.

تغییرات دینامیکی توزیع شار نسبی برای حالت (۳) در شکل ۱ نشان داده شده است. مشاهده می شود که در $t \rightarrow \infty$ این منحنی به توزیع $(x^+)^{\phi}$ نزدیک می شود. همچنین $\Delta(t)\%$ برای حالت (۲) در شکل ۲ رسم شده است. از جدول ۲ و شکل ۲ می توان به این نتایج رسید

- محاسبه M با استفاده از روش J خطای بسیار کوچکی دارد.

- در همه طرح ها در اولین ۱۰ الی ۲۰ محاسبه ای که بر روی اندازه گیری ها برای تعیین رآکتیویته انجام می شود (تقریباً در ۱۰ الی ۲۰ ثانیه ای اول) خطای تخمین مقدار رآکتیویته



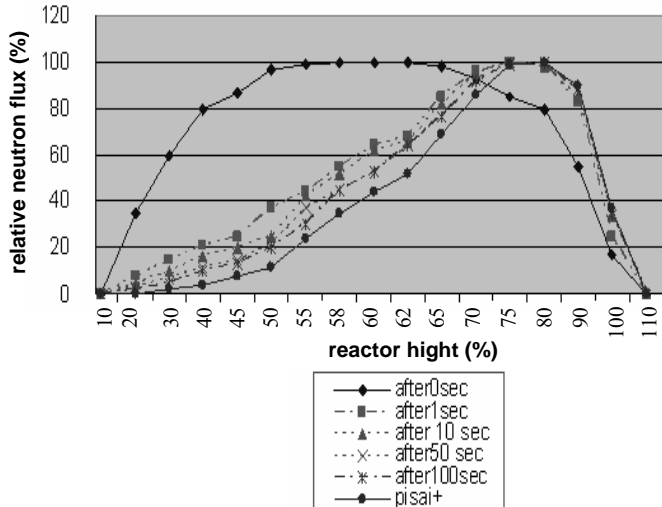
چنان‌چه اثرات مکانی کوچک باشد (رآکتورهای متوسط و کوچک با رآکتیویته‌ی کم)، تمام روش‌ها جواب‌های تقریباً یکسان با خطای کم خواهند داشت. اما چنان‌چه آشکارسازها در محل مناسب نصب نشده باشند، حتی در این حالت هم خطای زیاد خواهد بود. مثلاً در روش I_1 و I_2 انتخاب I_1 نامناسب (مقدار ρ در جدول ۲ [۲]، خطای در رآکتورهای کوچک و متوسط زیاد خواهد بود.

وقتی که رآکتور بزرگ است و اثرات مکانی وجود دارد، در عین حال که راکتیویته‌ی بزرگی به رآکتور تزریق می‌گردد، طرح F نمی‌تواند در زمان موردنظر (یک ثانیه بعد از تزریق رآکتیویته)، رآکتیویته را با دقت لازم تعیین کند (مثل مثال ۳ از جدول ۲). علت این امر آن است که قدر مطلق تابع $F(t)$ در معادله‌ی (۶) عدد بزرگی خواهد بود (حتی اگر شرایط معادله‌ی (۸) هم برقرار باشد). ولی در این حالت هم خطای از طرح‌های تحلیل شده‌ی دیگر ۳ بار کمتر است.

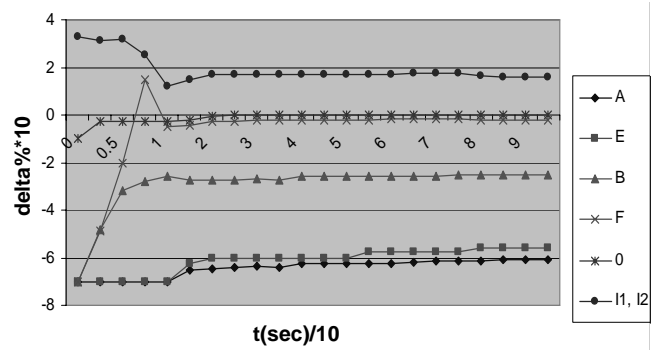
۴- نتیجه‌گیری

نتایج به دست آمده در این پژوهش روش‌های مختلفی را برای از بین بردن اثرات مکانی (چنان‌چه وجود داشته باشد) در اندازه‌گیری رآکتیویته‌ی رآکتورهای بزرگ چون RBMK و VVER 1000 پیشنهاد می‌کند.

برای شبیه‌سازی این روش‌ها معادلات دقیق سینتیک رآکتور، که وابستگی فضایی را هم شامل می‌شوند، به کار رفته است. نتایج به دست آمده از این شبیه‌سازی‌ها، پیشنهادهایی برای روش‌ها و الگوریتم‌های مناسب هستند که استفاده از آن‌ها سبب کاهش خطای اثرهای مکانی (با حداکثر درجه) در اندازه‌گیری رآکتیویته می‌شود.



شکل ۱- تغییرات دینامیکی توزیع شار نسبی (حالت ۳).



شکل ۲- خطای روش‌های مختلف (حالت ۲).

در رآکتورهای بزرگ و متوسط، طرح F با توجه به اثرهای مکانی، دقیق‌ترین روش برای تخمین مقدار ρ ، با بهترین دینامیک در کاهش خطای است (حالات ۱ تا ۳ و ۶). هم‌چنین خطای طرح F در مثال‌های ذکر شده، از طرح‌های دیگر ۲ تا ۳ بار کمتر است.

با به کار گیری طرح F در رآکتورهای بزرگ که دارای اثرات مکانی هستند و با توجه به این که در طرح F همواره ورودی رآکتیویته سنج شار نوترونی بیشینه است، محل آشکارساز همواره باید در محل شار بیشینه باشد. این روش، نسبت به روشهای دیگر معمولی می‌شود و در آن $I_2 = I_1 = 50$ (حالت بیشینه‌ی اولیه) و یا وقتی که در حالت نهایی بهترین I_2 در نظر گرفته می‌شود دارای خطای کمتری است.

پی نوشت‌ها:

۱- Form Function

۳- Absorption Cross Sections

۲- Reflector

References:

1. K.L.E.A. Ferguson, "Development of improved data analysis method for reactivity measurements in large power thermal reactors," Nucl. Technol. V.29, N1, 37-52 (1976).
2. Казанский Ю.А. и др. к учету пространственных эффектов при измерении реактивности методом обращенного решения уравнение кинетики. Атомная энергия, Т51, вып.6 (1981).
3. Шокодъко А.Г Строгое уравнение кинетики реактора. Вопр.атомн. науки и техники. Сер.: Физика и техника ядерных и реакторов, 1988, вып.4 (1988).
4. Кипин дж. Физические основы кинетики ядерных реакторов. М.: Атомиздат (1967).